

Mjerenje protoka plina na platformi Ivan A

Gas Flow Measurement on the Platform Ivan A

Bruno Orešković

Epič d.o.o.

E-mail: bruno@epik.hr

DOI 10.17818/NM/2020/3.10

UDK 532.57: 622.242.2

Stručni rad / Professional paper

Rukopis primljen / Paper accepted: 30. 1. 2021.

Sažetak

Danas se na offshore plinskim postrojenjima koristi nekoliko metoda za mjerjenje protoka: mjerjenje protoka dP (metodom pada tlaka), mjerjenje protoka ultrazvukom, mjerjenje protoka masenim protokomjerom, mjerjenje protoka na temelju fizikalne pojave vrtloga (vortex) i mjerjenje protoka termalnim efektom. Cilj ovog članka je obraditi metodu mjerjenja protoka metodom pada tlaka (dP) koja se koristi trenutno na Ininoj platformi Ivan A te prikazati ispitna izvješća s platforme. U članku se razmatraju strojarske komponente koje je potrebno ugraditi, instrumente koji se upotrebljavaju prilikom mjerjenja, kao i kroz upravljačke sustave (DCS ili SCADA) na kojima se obrađuju izmjerene vrijednosti te prikazuje jedinični protok plina.

Summary

Several methods for flow measurement are used on offshore gas installations nowadays: flow measurement by dP method (pressure drop method), flow measurement by ultrasound, flow measurement by mass flow meter, flow measurement by Vortex and flow measurement by thermal effect. The aim of the paper is to analyse the flow measurement method by using the dP method, currently being used on the INA platform Ivan A as well as to present the test results obtained on the platform. The paper analyses engineering components to be installed, instruments used during taking measurements as well as management systems (DCS or SCADA) in which the measurements taken are processed and gas flow per unit is shown.

KLJUČNE RIJEČI

mjerjenje protoka plina

pad tlaka

offshore

DCS (distributed control system)

SCADA (supervisory control and data acquisition)

KEY WORDS

gas flow measurement

pressure drop

offshore

DCS (distributed control system)

SCADA (Supervisory control and data acquisition)

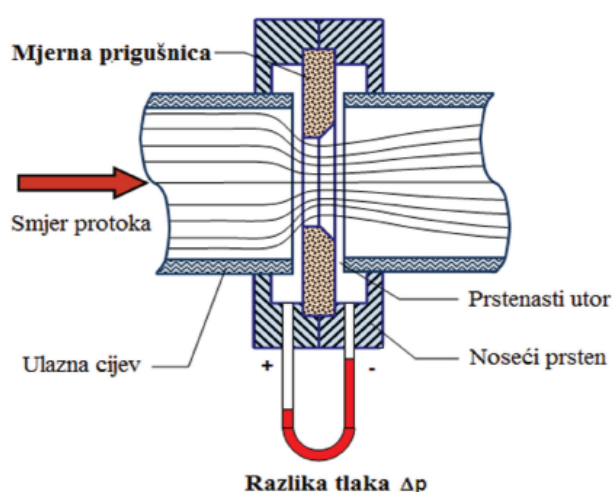
1. MJERENJE PROTKA METODOM DP (PREKO MJERNE PRIGUŠNICE I EFEKTA PADA TLAKA) / *Flow measurement by dP method (through orifice plate and gas pressure drop)*

Udanošnjim postrojenjima, kao i na offshore građevinama, potreba za mjerjenjem protoka je usavršila metode i instrumentaciju. Danas za precizno i točno mjerjenje imamo širok spektar opreme koja se nudi na tržištu. U članku se opisuju metode mjerjenja protoka koje koriste fizikalnu pojavu pada tlaka na suženom djelu (mjerne prigušnica) cjevovoda koji je proporcionalan brzini strujanja, odnosno volumnom protoku plina. U prvom je dijelu opisana strojarska priprema, u drugom dijelu potrebna instrumentacija za mjerjenje, dok je u posljednjem dijelu opisan upravljački sustav te potrebni proračuni kako bi se dobilo što točnije i preciznije mjerjenje protoka.

2. STROJARSKA PRIPREMA ZA INSTALACIJU / *Engineering preparation for installation*

Mjerna metoda dP (*delta pressure*) koristi efekt pada tlaka na cjevovodu. U tu svrhu instalira se mjerna prigušnica ili prigušnica (eng. *orifice plate*), koja se najčešće sastoji od kružne ploče ubaćene između prirubnica dvije cijevi. Otvor na ploči manjeg je promjera od promjera cijevi, a smisao je suziti površinu protoka fluida. Smanjenjem presjeka, pad tlaka iza prigušnice može doći polovicu izvornog tlaka. Na prigušnicama je i manji pomoćni otvor za prolaz zaostalog zraka ili plinova, odnosno ukapljene tekućine.

Otvor na mjernoj prigušnici specificira se prema proračunu potrebnog pada tlaka te očekivanog protoka. Na slici 1. možemo vidjeti koncept mjerjenja protoka uz pomoć mjerne prigušnice.



Slika 1. Koncept mjerjenja pomoću mjerne prigušnice

Figure 1 Measurement by orifice plate

Izvor: Wikipedija. https://en.wikipedia.org/wiki/Orifice_plate

Prije izrade mjerne prigušnice potrebno je napraviti proračun dimenzije otvora prema procesnim parametrima sustava u kojem će se koristiti.

Izrazi koji će se koristiti za proračun mjerne prigušnice temelje se na Bernullijevom izrazu (1) iz kojeg dobivamo izraz (2):

$$p_1 + \frac{1}{2} \rho V_1^2 = p_2 + \frac{1}{2} \rho V_2^2, \quad (1)$$

$$p_1 - p_2 = \frac{1}{2} \rho V_2^2 - \frac{1}{2} \rho V_1^2, \quad (2)$$

Da bi dobili potrebni oblik jednadžbe za proračun protoka preko pada tlaka, koristit ćemo i jednadžbu kontinuiteta (3):

$$A_1 V'_1 = A_2 V'_2 = q'_v \quad (3)$$

$$\text{Iz čega slijedi: } q'_v = \left(\frac{q'_v}{A_1} \right)^1$$

Ako iskoristimo taj izraz u prvoj jednadžbi, dobivamo:

$$p_1 - p_2 = \frac{1}{2} \rho \left(\frac{q'_v}{A_2} \right)^2 - \frac{1}{2} \rho \left(\frac{q'_v}{A_1} \right)^2 \quad (4)$$

$$q'_v = A_2 \sqrt{\frac{2(p_1 - p_2)/\rho}{1 - \left(\frac{A_2}{A_1} \right)^2}} \quad (5)$$

Uvodimo supstituciju za $\frac{A_2}{A_1}$ u $\frac{d}{D}$:

$$q'_v = A_2 \sqrt{\frac{1}{1 - \left(\frac{d}{D} \right)^2} \sqrt{2(p_1 - p_2)/\rho}} \quad (6)$$

Uvodimo koeficijent $\beta = \frac{d}{D}$ radi lakšeg računanja, kao i koeficijent prigušnice $C = \frac{cd}{\sqrt{1-\beta}}$, gdje je Cd koeficijent pražnjenja.

Nakon što uvrstimo koeficijent C u izraz (6), dobivamo jednostavniji oblik izraza preko kojeg možemo računati volumni protok:

$$q_v = C A_2 \sqrt{2(p_1 - p_2)/\rho} \text{ m}^3/\text{s} \quad (7)$$

Da bi dobili maseni protok, moramo izraz pomnožiti s koeficijentom gustoće,

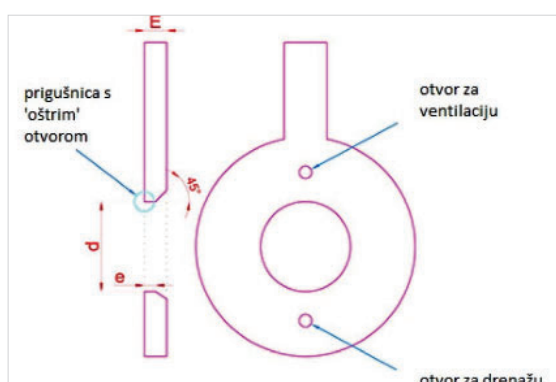
$$q_m = \rho q_v \text{ kg/s} \quad (8)$$

Objašnjenje: p_1 – izmjereni tlak ispred mjerne prigušnice (kPa abs), d_o – izmjereni tlak iza mjerne prigušnice (kPa abs), C_d – promjer otvora na mjerenoj prigušnici (mm), q_v – koeficijent pražnjenja, volumni protok plina (m³/h), q_m maseni protok plina (kg/h)

Koeficijent pražnjenja Cd je bezdimenzionalna veličina koju će se posebno izdvajati kao važan faktor prilikom proračuna volumnog protoka. Koeficijent pražnjenja Cd se računa preko izraza (9)

$$Cd = \frac{m}{\rho q_v} \quad (9)$$

Kao što možemo vidjeti iz izraza (9) koeficijent pražnjenja Cd ovisi o m – maseni protok medija kroz presjek, o q_v – volumni protok plina (m³/h) te o ρ – koeficijent gustoće.



Slika 2. prikaz prigušnice s 'oštrim' rubom
Figure 2 Orifice plate with 'sharp' edge

Izvor: Emerson priručnik: vodič-za-brzi-početak-rada-pločica-za-mjernu-blendu-rosemount-1495-spoj-prirubnice-i-mjerne-prigušnice-rosemount-1496-hr-77654

U aplikaciji koju ćemo ovdje opisati koristi se merna prigušnica koja ima tzv. oštri rub (slika 2.). Gledajući presjek prigušnice, ne radi se o pravokutniku, nego o trokutu (engl. Sharp-edge orifice plate) te se u tom slučaju koristi druga formula za izračun koeficijenta pražnjenja Cd , izraz je unormiran prema ISO 5167:

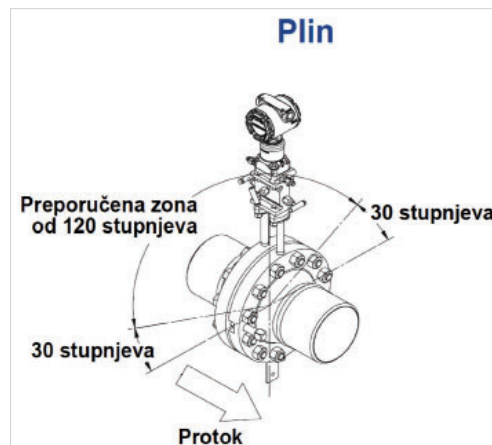
$$Cd = 0.5961 + 0.0261\beta^2 - 0.261\beta^8 + 0.000521 \left(\frac{10^6 \beta}{Re_d} \right)^{0.7} + (0.0188 + 0.00634)\beta^{3.5} \left(\frac{10^6}{Re_d} \right)^{0.7} + (0.043 + 0.080 \exp(-10L_1) - 0.123 \exp(-7L_1)) (1 - (0.11A) \frac{\beta^4}{1 - \beta^4} - 0.031(M_2' - 0.8M_2'^{1.1})\beta^{1.3} + 0.011(0.75 - \beta)(2.8 - \frac{D}{0.0254}))$$

U našem slučaju za $L_1 = L'_2 = \frac{0.0254}{D}$, konstanta konstanta Re_d je Reynoldsov broj koji ovisi o dimenziji cjevovoda, brzini medija i kinematičkoj viskoznosti medija.

Još jedan procesni parametar koji utječe na točnost mjerjenja je pad tlaka na samoj prigušnici (DP), gubitak tlaka ili pressure loss u cjevovodu kojega možemo izračunati preko izraza (11):

$$\frac{DP}{dP} = 1 - \beta^{1.9} \quad (11)$$

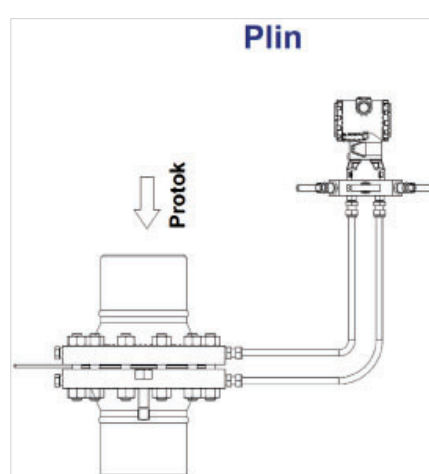
Strojarska instalacija opreme na platformi Ivana A, primjer



Slika 3. Primjer instalacije instrumenta na cjevovod ovisno o vrsti medija koji mjeri. U ovom slučaju se radi o mjerjenju protoka plina.

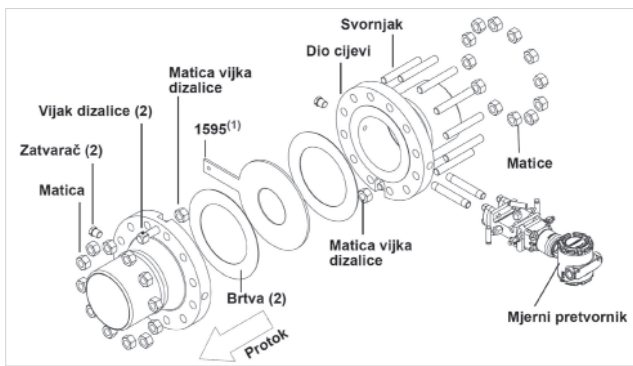
Figure 3 An example of instrument installation onto pipeline depending on the medium being measured. In this case gas flow measurement is taken.

Izvor: Emerson manual: Emerson priručnik: vodič-za-brzi-početak-rada-pločica-za-mjernu-blendu-rosemount-1495-spoj-prirubnice-i-mjerne-prigušnice-rosemount-1496-hr-77654



Slika 4. Položaj instrumenta u odnosu na cjevovod
Figure 4 Positioning of instrument in relation to pipeline

Izvor: Emerson manual: Emerson priručnik: vodič-za-brzi-početak-rada-pločica-za-mjernu-blendu-rosemount-1495-spoj-prirubnice-i-mjerne-prigušnice-rosemount-1496-hr-77654



Slika 5. Potrebne komponente djela strojarske pripreme za instalaciju

Figure 5 Components required for engineering preparation for installation

Izvor: Emerson manual: Emerson priručnik: vodič-za-brzi-početak-rada-pločica-za-mjernu-blendu-rosemount-1495-spoj-prirubnice-i-mjerne-prigušnice-rosemount-1496-hr-77654

3. MJERNI UREĐAJ, INSTRUMENTACIJA / Measurement device, instrumentation

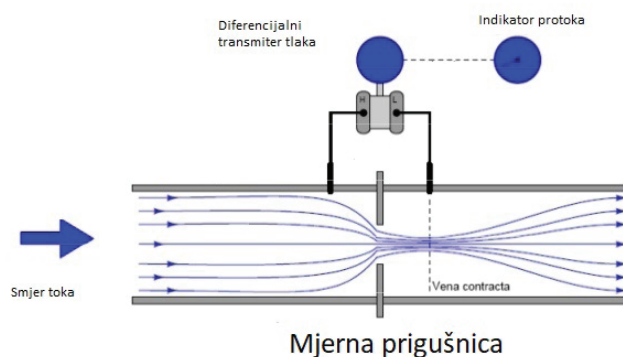
Nakon izbora mjerne prigušnice, odnosno proračuna dimenzije, odabire se diferencijalni transmiter tlaka kao mjerni instrument. Njegove specifikacije ovise o procesnim parametrima sustava, o očekivanom tlaku, protoku i temperaturi. Uređaj se sastoji od dvije mjerne ćelije. Transmiter prikazuje razliku između dva mjerena u obliku strujnoga signala na svojem izlazu prema centralnom upravljačkom sustavu.

ili 0 - 200 mbar. Izmjerena vrijednost instrumenta se šalje prema centralnom upravljačkom sustavu analognim ili digitalnim izlazom. Najčešća izvedba je analogni izlaz radi robusnosti i pouzdanosti mjerjenja gdje koristimo iznos struje u mA koja odgovara mjernom opsegu instrumenta. U opisanom slučaju strujni mjerni opseg od 4 do 20 mA odgovarao bi mjernom rasponu 0 – 100 mbar.



Slika 7. Diferencijalni transmiter tlaka instaliran na platformi Ivan A

Figure 7 Differential pressure transmitter installed on the platform Ivan A



Slika 6. Instalacija diferencijalnog transmitera tlaka

Figure 6 Installation of differential pressure transmitter

Mjerni opseg, koji će se definirati prilikom projektiranja, najvažnija je specifikacija mjernog instrumenta. Mjerni opseg instrumenta u izravnoj je vezi s očekivanim protokom kroz plinovod, što se izrazu 2. izvedenog iz Bernoulli jeve jednadžbe kontinuiteta:

$$Q = C \cdot A_2 \cdot \sqrt{2(P_1 - P_2)/\rho}, \text{ m}^3/\text{h}$$

Izraz 2. Relacija između pada tlaka i protoka

Objašnjenje: A_2 je površina otvora mjerne prigušnice, P_1 je tlak prije mjerne prigušnice, P_2 je tlak iza mjerne prigušnice, ρ je gustoća fluida. C je konstanta koja ovisi o koeficijentu propusnosti mjerne prigušnice C_d , kao i o omjeru promjera plinovoda i promjera mjerne prigušnice.

Mjerni opseg instrumenta izražen je u SI jedinicama; (bar, ili češće u mbar). Tipični mjeri opseg instrumenta je 0 - 100 mbar

4. PRIKAZ IZMJERENE VELIČINE PROTKA NA CENTRALNOM UPRAVLJAČKOM SUSTAVU / Measured flow rate on the central control system

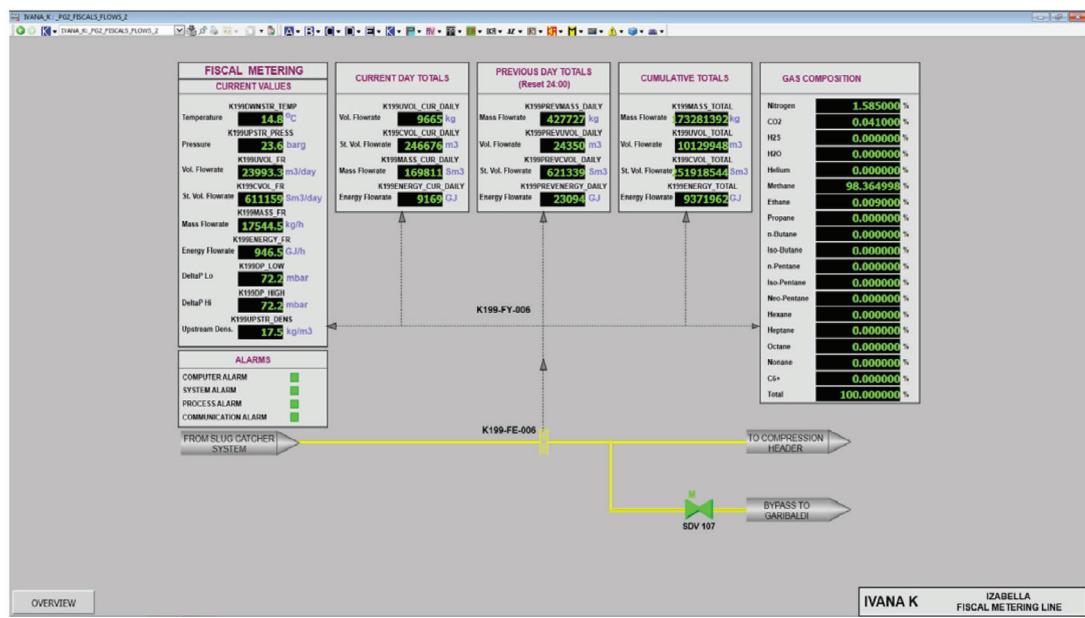
Sve izmjerene veličine transmiterima se šalju na centralni upravljački sustav na kojem se obavlja konverzija, proračun, prikaz, kao i pohrana mjerjenja. Centralni upravljački sustav može biti SCADA ili DCS. Upravljački sustav prima strujni signal te vrši pretvorbu u fizikalnu veličinu koja će biti prikazana operateru.

U slučaju potrebe preciznijeg i točnijeg mjerjenja protoka na plinovodu, uz instrument diferencijalnog tlaka, ugrađeni su i dodatni uređaji poput instrumenta za mjerjenje tlaka, kao i instrumenta za mjerjenje temperature medija (zakon idealnog plina).

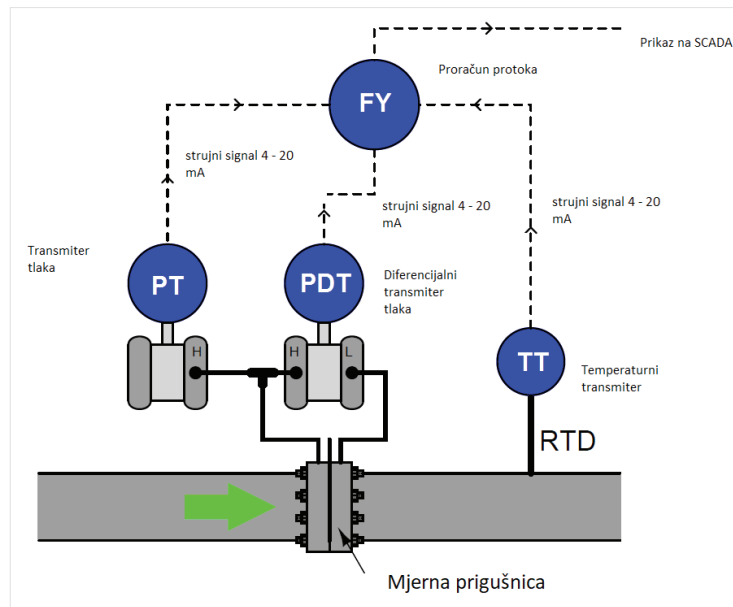
Mjerna očitanja sva tri instrumenta šalju se transmiterom tlaka ili temperature, strujnim signalom prema upravljačkome sustavu koji radi korekcije prikaza protoka s obzirom na izmjereni tlak i temperaturu medija. Na slici 7. prikazano je mjerjenje protoka na tipičnoj SCADAi koju možemo susresti i na offshore instalacijama.

Kako bi imali prikaz na upravljačkome sustavu, protok u N/h ili kompenzaciju, mjerjenje protoka po tlaku i temperaturi u °C, u upravljački program se unosi izraz koji omogućuje izračun.

Na slici 9. prikazan je koncept mjerjenja protoka i kompenzacije po tlaku i temperaturi.



Slika 8. Prikaz mjerjenja protoka na SCADA i (Ivana K)
Figure 8 Flow measurement on SCADA i (Ivan K)



Slika 9. Koncept mjerjenja protoka uz mjerjenje tlaka i temperature u svrhu kompenzacije
Figure 9 Flow measurement concept with pressure and temperature measurements for the purpose of compensation

$$\rho = \frac{M_{gas} P}{ZRT}, \text{ kg/m}^3$$

Izraz 3. Ovisnost gustoće plina o temperaturi i tlaku

Temeljem zakona o idealnom plinu, vidi ovisnost gustoće plina o procesnim veličinama koja direktno utječe na izmjereni protok plina.

P – izmjereni tlak plina, T – izmjerena temperatura plina, M_{gas} – molarni broj plina, R – univerzalna konstanta plina, Z – faktor kompresije

5. ISPITNA IZVJEŠĆA S PLATFORME IVANA A / Test results from the platform Ivan A

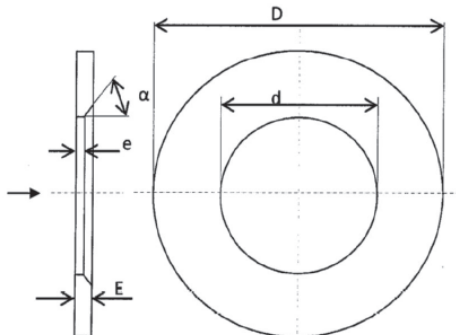
U ovim ispitnim izvješćima možemo vidjeti koji su bitni elementi mjerjenja protoka metodom dP i kako se ti elementi ispituju i umjeravaju.

Trenutna situacija na platformi Ivana A po pitanju protoka je da se isporučuje oko 550 000 m³ plina na dan, što znači da imamo protok u iznosu od 381 m³/s.

Izvješće o mjerenu br. D-023/14

Measurement Report No.

Strana 3 od 3
Page 3 of 3



Slika 1. Prikaz dimenzionalnih značajki oštrobridne prigušnice

Tablica 1. Rezultati mjerena
Table 1. Measurement results

| Mjerna značajka Characteristic | Izmjerena vrijednost Measured value | | | | Mjerna nesigurnost Measurement uncertainty |
|---------------------------------------------------------------------------------------------------------|----------------------------------------|---------|---------|---------|-----------------------------------------------|
| Srednje aritmetičko odstupanje profila Ra, μm Arithmetic mean deviation of the profile Ra | Ulaz Inlet | 0,460 | | | |
| | Izlaz Outlet | 0,324 | | | |
| Ravnost, mm Flatness | Ulaz Inlet | 0,153 | | | |
| Debljina prigušnice, mm Thickness | E | 6,426 | 6,420 | 6,409 | 6,418 |
| | E_{sr} | 6,418 | | | |
| | Raspont E | 0,017 | | | |
| Debljina otvora, mm Thickness | e | 4,651 | 4,656 | 4,643 | 4,634 |
| | e_{sr} | 4,646 | | | |
| | Raspont e | 0,022 | | | |
| Izlazni kut prigušnice Angle bevel | α_{sr} | 45,29° | | | |
| Promjer otvora prigušnice, mm Inner diameter | d | 141,233 | 141,230 | 141,235 | 141,233 |
| | d_{sr} | 141,233 | | | |
| | Raspont d | 0,005 | | | |
| Odstupanje od kružnosti otvora, mm Roundness deviation at d | RONT | 0,013 | | | |
| Vanjski promjer, mm Outside diameter | D | 319,821 | | | |

Mjeroio:

Measured by

Dr.-sc. Marko Katić

Tomislav Habek

Provjerio:

Check by

Dr.-sc. Gorana Baršić

LFSB-MR 050-1

Slika 10. Primjer ispitnih izvješća za prigušnicu koja je instalirana na platformi Ivana A
Figure 10 A sample of test reports for orifice plate installed on the platform Ivan A

Izvor: arhiva platforme Ivana A

6. ZAKLJUČAK / Conclusion

Točnost mjerjenja metodom dP ovisi o preciznosti izrade i proračuna mjerne prigušnice, točnosti i preciznosti odabranog mjernog instrumenta, kao i o izrazima koji se koriste prilikom proračuna protoka. Uz pretpostavku da se ne mijenja koeficijent pražnjenja Cd točnost mjerjenja koja se može postići ovom metodom može biti ispod 1,0 % trenutnog protoka kao u našem slučaju. Utjecaj greške sP transmitera tlaka na ukupnu grešku je ispod 0,1 %. Greška mjerjenja ovisi i o temperaturi medija, kao i o ukupnom tlaku medija. Uz dobru kompenzaciju, greška uzrokovana tim procesnim parametrima može se svesti na nulu.

Mjerjenje protoka mjernom metodom pada tlaka je danas uobičajeno na offshore instalacijama zbog jednostavnog mjerjenja, lakog održavanja te nezahtjevne instalirane opreme.

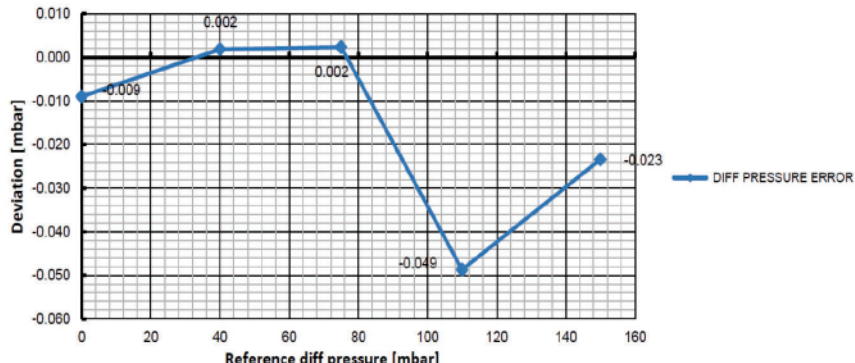
Ova se metoda može primijeniti u nekoliko procesnih aplikacija. Primjerice, mjerjenje protoka u svrhu indikacije protoka, regulacije protoka (manje se koristi) ili u svrhu količinskog obračuna isporučenog plina kupcu.

Spomenuto mjerjenje danas se koristi na platformi Ivana A. Na istoj se platformi mjeri temperatura i tlak plina. T se vrijednosti uzimaju kao kompenzacijski faktor pri izračunu količine plina isporučene kupcu.

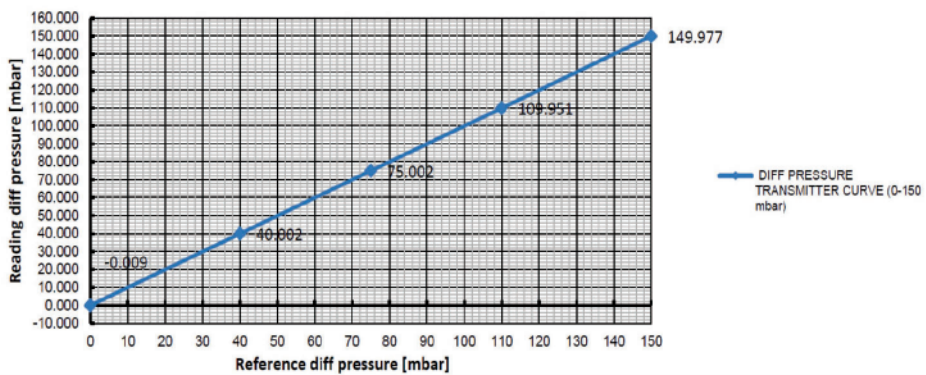
CALIBRATION DATA K199-FT-006B

| Reference [mbar] | Reading [mbar] | Deviation [mbar] |
|---------------------|-------------------|---------------------|
| 0 | -0.009 | -0.009 |
| 40 | 40.002 | 0.002 |
| 75 | 75.002 | 0.002 |
| 110 | 109.951 | -0.049 |
| 150 | 149.977 | -0.023 |

K199-FT-006B ERROR CURVE



K199-FT-006B CHARACTERISTIC



74.000 mbar Reading operating point

73.998 mbar Calculated corrected reading in operating point 74 mbar (from characteristic)

Difference
0.002 mbar 0.003 %

Reading 74 mbar is more than it should be

Error in gas flow
0.001 %

Differential transmitter error produce around 0.001 % higher reading of flow rate.

Slika 11. Ispitno izvješće diferencijalnog transmitera tlaka i proračun greške mjerjenja

Figure 11 Test report on differential pressure transmitter and calculation of measurement error

Izvor: arhiva platforme Ivana A

```

=====
STATION 1 CONFIGURATION REPORT                               04/07/2017 11:21:28
=====
=====
No report configured
=====

=====
STREAM 1 CONFIGURATION REPORT
=====

ORIFICE PLATE MATERIAL          STAINLESS
METER TUBE MATERIAL            CARBON ST
ORIFICE REF DIAMETER           141.233000 mm
METER TUBE REF DIAMETER        288.925000 mm
ORIFICE TAP CONFIG              FLANGE
METER IDENTIFIER                LINE 01
CONTRACT HOUR                   06:00
STATIC PRESS LOSCALE           23.621126 barg
STATIC PRESS HISCALE            23.621126 barg
TEMPERATURE LOSCALE             14.817861 Deg.C
TEMPERATURE HISCALE              14.817861 Deg.C
PRESSURE BASE (Pb)              0.000000 barg
PRESSURE BASE (Tb)              15.000000 Deg.C
AGA 8 CALCULATION METHOD        DETAIL
STATIC PRESSURE TAP LOCN         ON-LINE
LOW DIFFERENTIAL CUT OFF        1000.000000 kg/h
REAL RD (SG)                    0.561648
UPSTR COMP(Zf)                  0.953267
GAS COMPONENTS
                                1.577000 NITROGEN
                                0.031000 CO2
                                0.000000 H2S
                                0.000000 H2O
                                0.000000 HELIUM
                                98.383000 METHANE
                                0.009000 ETHANE
                                0.000000 PROPANE
                                0.000000 N_BUTANE
                                0.000000 I_BUTANE
                                0.000000 N_PENTANE
                                0.000000 I_PENTANE
                                0.000000 NEO_PENTANE
                                0.000000 HEXANE
                                0.000000 HEPTANE
                                0.000000 OCTANE
                                0.000000 NONANE
                                0.000000 DECANE
                                0.000000 OXYGEN
                                0.000000 CO
                                0.000000 HYDROGEN
                                0.000000 BENZENE
                                0.000000 TOLUENE
                                0.000000 ARGON
                                0.000000 C6_PLUS
                                0.000000 CX_PLUS
                                100.000000 TOTAL
=====
```

Slika 12. Popis parametara koji utječu na proračun protoka, platforma Ivana A

Figure 12 List of parameters affecting calculation of flow, Ivan A platform

Izvor: arhiva platforme Ivana A

LITERATURA / References

- [1] Emerson priručnik: vodič-za-brzi-početak-rada-pločica-za-mjernu-blendu-rosemount-1495-spoj-prirubnice-i-mjerne-prigušnice-rosemount-1496-hr-77654
- [2] FER-procesna mjerenja: https://www.fer.unizg.hr/_download/repository/Emerson_prezentacija_17.1.2014.pdf
- [3] Bernoullijeva jednadžba, URL: <http://www.enciklopedija.hr/natuknica.aspx?ID=7186>, "Hrvatska enciklopedija", Leksikografski zavod Miroslav Krleža, www.enciklopedija.hr, 2016.
- [4] Rasplinjač, URL: <http://www.enciklopedija.hr/Natuknica.aspx?ID=51870>, "Hrvatska enciklopedija", Leksikografski zavod Miroslav Krleža, www.enciklopedija.hr, 2016.
- [5] Seminar AVP-4, Procesna mjerenja, Fakultet kemijskog inženjerstva i tehnologije Sveučilišta u Zagrebu, Laboratorij za automatiku i mjerjenja, 2017.
- [6] The Engineering's Guide to DP Flow Measurement, 2020 Edition, Emerson Automation Solutions